



# مجله علمی پژوهشی مکانیک سازه ها و شاره ها

DOI: 10.22044/jsfm.2018.6971.2612

## اثر چیدمان پیزوالکتریک بر چگالی انرژی آکوستیکی در ریزمحفظه فراصوتی تهیه نانومولسیون

سید محمد محسن مدرس قیصری<sup>۱</sup>، پدرام صفرپور<sup>۲</sup> و مجید زندی<sup>\*۳</sup><sup>۱</sup> دانشجوی دکتری دانشکده مهندسی مکانیک و انرژی، پردیس فنی مهندسی شهید عباسپور، دانشگاه شهید بهشتی، تهران

دانشکده مهندسی مکانیک و انرژی، پردیس فنی مهندسی شهید عباسپور، دانشگاه شهید بهشتی، تهران

<sup>۲</sup> استادیار گروه انرژی‌های تجدید پذیر، دانشکده مهندسی مکانیک و انرژی، پردیس فنی مهندسی شهید عباسپور، دانشگاه شهید بهشتی، تهران

مقاله مستقل، تاریخ دریافت: ۱۳۹۷/۰۵/۲۶؛ تاریخ بازنگری: ۱۳۹۷/۰۸/۰۳؛ تاریخ پذیرش: ۱۳۹۷/۰۸/۱۱

### چکیده

امروزه نانومولسیون‌ها و فناوری‌های تولید آن، به یکی از مباحث مهم در صنایع مختلف از جمله مهندسی شیمی، پزشکی و غذایی تبدیل شده است. موج‌دهی فراصوتی از مناسب‌ترین روش‌های تهیه نانومولسیون‌ها است که در مقیاس‌های مختلف به کار برد می‌شود. در برخی از کاربردهای خاص، از ریزمحفظه‌ها برای تهیه نانومولسیون استفاده می‌شود. انتشار امواج فراصوتی توسط سرامیک‌های پیزوالکتریک (پیزو) انجام شده که مهم‌ترین بخش یک حمام فراصوتی به شمار رود. نحوه قرارگرفتن و بسامد تحریک پیزوها، تاثیر فراوانی بر برهمکنش امواج و کارآیی حمام فراصوتی دارد. در این مقاله طی شبیه‌سازی‌هایی با استفاده از نرم‌افزار کامسول، به بررسی چهار چیدمان ریزمحفظه‌های فراصوتی مکعبی، پرداخته شده است. موج‌دهی فراصوتی در سه بسامد ۲۰، ۲۰۰ و ۳۰۰ کیلوهertz انجام شده و تاثیر افزودن پیزوها در بسامدهای مختلف جهت دستیابی به مناسب‌ترین چیدمان ارزیابی شده است. نشان داده شد، افزودن دو پیزو به صورت روبروی هم به چیدمان، موجب افزایش چگالی انرژی آکوستیکی به صورت نمایی شده و این افزایش در بسامدهای کمتر بسیار محسوس‌تر است.

**کلمات کلیدی:** نانومولسیون؛ موج‌دهی فراصوتی؛ ریزمحفظه؛ شبیه‌سازی انتشار امواج آکوستیکی؛ نرم‌افزار کامسول.

## Piezoelectric Configurations Effects on Acoustic Energy Density in an Ultrasonic Microcontainer for Preparing Nanoemulsion

S. M. M. Modarres Gheisari<sup>1</sup>, P. Safarpour<sup>2</sup>, M. Zandi<sup>3,\*</sup><sup>1</sup> Ph.D. Student, School of Mechanical and Energy Systems Eng. Faculty, Shahid Beheshti Univ., Tehran, Iran.<sup>2</sup> Assistant Prof., Mechanical and Energy Systems Eng. Faculty, Shahid Beheshti Univ., Tehran, Iran.<sup>3</sup> Assistant Prof., Renewable Energies Department, Mechanical and Energy Systems Eng. Faculty, Shahid Beheshti Univ., Tehran, Iran.

### Abstract

Nanoemulsions and their preparing technologies have become one of the most important fields in various industries such as chemical engineering, pharmaceuticals and food. Ultrasonic irradiation is a method for preparing nanoemulsions, which is used in different scales. Microcontainers, by use of piezoelectric ceramic (abbr. piezo), are utilized to prepare nanoemulsions in some special researches. Irradiation of ultrasonic waves by these piezos in microcontainers is the most important part of nanoemulsion preparation process. Piezoelectric arrangement and their excite frequencies have a great effect on interacting waves and therefore, ultrasonic bath performance. In this paper, four configurations of cubic ultrasonic microcontainer have been analyzed by simulations in COMSOL Multiphysics software. Irradiation of ultrasonic waves performed at three frequencies 20, 200 and 300 kHz. In order to determine the best arrangement, the effect of adding piezoelectric elements in different frequencies and arrangements has been analyzed. It has been shown that adding two faced piezoelectric elements, leads to increasing acoustic energy density logarithmically and this increment is more evident in lower frequencies.

**Keywords:** Nanoemulsion; Ultrasonic Irradiation; Microcontainer; Simulating Acoustic Waves Propagation; COMSOL Multiphysics Software.

\* نویسنده مسئول؛ تلفن: +۹۸-۲۱-۷۳۹۳۲۶۴۴

آدرس پست الکترونیک: m\_zandi@sbu.ac.ir

انرژی آکوستیکی در یک ریزمحفظه مکعبی و یافتن مناسب‌ترین چیدمان در بسامدهای مختلف کاری است. بدین ترتیب در راستای بهبود کارایی ریزمحفظه‌های فرacoتی مکعبی، ارزیابی‌های متعددی در بسامدهای ۲۰۰، ۲۰۰ و ۳۰۰ کیلوهertz، طی چهار چیدمان متفاوت (موج‌دهی یک بعدی تا سه بعدی) انجام شده و به مقایسه نمودارهای چگالی انرژی آکوستیکی در حالت‌های مختلف جهت یافتن مناسب‌ترین چیدمان در هر بسامد پرداخته شده است.

## ۲- تئوری

جهت بیان تئوری کار، مدل ریاضی انتشار امواج در سیال و حفره‌زایی صوتی باید مد نظر قرار گیرند. در این مقاله برای شبیه‌سازی انتشار امواج فرacoتی در ریزمحفظه، مواد از نرم‌افزار کامسول<sup>۲</sup> نسخه ۵.۲ و مازول‌های مکانیک جامد،<sup>۳</sup> الکترواستاتیک<sup>۴</sup> و فشار آکوستیکی<sup>۵</sup> آن استفاده شده است. این نرم‌افزار برای حل معادلات از روش عددی المان محدود استفاده می‌کند. اساس کار این روش، ساده‌سازی معادلات دیفرانسیل جزئی به معادلات دیفرانسیل معمولی و حل عددی آن‌ها با مقداردهی تکارشونده روی گره‌های المان‌های مش است. این روش در حل معادلات دیفرانسیل جزئی روی دامنه‌های پیچیده، یا هنگامی که دامنه متغیر است و یا وقتی که دقت بالا در همه جای دامنه الزامی نیست، بسیار مفید است. با توجه به این نکته که دقت مش‌بندی در سطح و اطراف پیزو با سایر نقاط تفاوت بسیاری دارد، این روش می‌تواند بسیار کارا باشد.

مسئله مورد بررسی در این پژوهش، از نوع غیر خطی است و برای حل معادلات این سیستم غیر خطی، از حلگر مستقیم و روش کوپل کامل استفاده شده است. حلگرهای مستقیم نرم‌افزار کامسول عبارتند از: PARDISO، MUMPS و SPOOLES. که با توجه به قابلیت استفاده از حافظه سخت‌افزاری جهت پردازش و نیز امکان حل تحت شبکه، در این پژوهش حلگر MUMPS استفاده شده است. معادله امواج آکوستیکی برای شرایط امواج فرacoتی طولی و بدون

## ۱- مقدمه

سابقه استفاده از امواج فرacoتی در کاربردهای مهندسی به اوایل قرن بیستم بر می‌گردد. امروزه روش موج‌دهی فرacoتی در صنایع مختلفی از جمله، صنایع نفت و گاز [۱]، تشخیص فرسودگی [۲]، ماشینکاری و شکل‌دهی فلزات [۳]، رسوب زدایی و شستشو [۴]، صنایع غذایی [۵] و صنایع دارویی [۶]، مورد استفاده قرار می‌گیرد. یکی از کاربردهای مهم موج‌دهی فرacoتی در فرایندهای ساخت مواد، هموژن سازی محلول‌ها و تولید نانومولسیون (مولسیون با فاز محلول در ابعاد نانو) است که علاوه بر روش‌های شیمیایی و متالورژی، مورد توجه بسیاری از محققان قرار گرفته است [۷].

انتشار امواج فرacoتی با تحریک سرامیک‌های پیزوالکتریک در بسامد مناسب ایجاد می‌شود [۸] که در این مقاله تحت عنوان "پیزو" نام بده شده‌اند. در حمام‌های فرacoتی با توجه به اهداف طراحی، پیزوهایی با چیدمان‌های متفاوت و بسامدهای مختلف تحریک وجود دارند. محدوده بسامد برای حمام‌های فرacoتی از ۲۰ کیلوهertz تا ۴/۶ مگاهرتز گزارش شده است [۹]. گرچه افزایش بسامد کاری با کاهش شدت فشار آکوستیکی همراه است، ولی استفاده از بسامدهای محدوده مگاهرتزی می‌تواند موجب بهبود پایداری نانومولسیون گردد [۱۰].

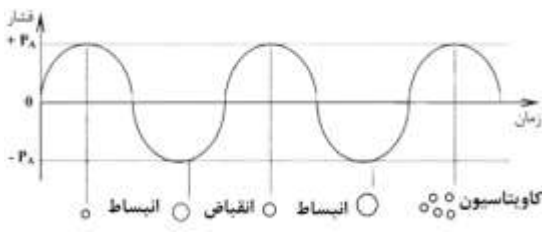
به طور معمول، توزیع فشار در یک حمام فرacoتی، یکنواخت نبوده و درصد امکان وقوع حفره‌زایی<sup>۱</sup> به سطح فشار محلی و نحوه توزیع آن بستگی دارد. هرچه توزیع فشار آکوستیکی یکنواخت‌تر باشد، کارایی حمام فرacoتی بیشتر و چیدمان پیزوها در آن مناسب‌تر بوده است. به همین دلیل، یکی از مهم‌ترین معیارها در زمینه طراحی حمام‌های فرacoتی، یکنواختی توزیع فشار آکوستیکی است که تا کنون محققان متعددی به بررسی آن پرداخته‌اند [۱۱–۱۴]. ریزمحفظه‌های فرacoتی یکی از انواع حمام‌های فرacoتی با حجم چند ده میلی‌لیتر هستند که می‌توانند جهت موج‌دهی فرacoتی در مقیاس آزمایشگاهی و ساخت و فرآوری مواد حساس به کار بده شوند [۱۵].

هدف از این مقاله، بررسی تاثیر چیدمان‌های مختلف و بسامدهای متفاوت پیزوها بر توزیع فشار آکوستیکی و چگالی

<sup>2</sup> COMSOL MULTIPHYSICS  
<sup>3</sup> Solid Mechanics  
<sup>4</sup> Electrostatics  
<sup>5</sup> Pressure Acoustic Module

<sup>۱</sup> Cavitation

کاهش تدریجی حجم، به طور ناگهانی ترکیده و حفره‌زایی صوتی رخ می‌دهد [۲۱]. در غیر اینصورت امواج صوتی موجب نوسان‌های شعاعی حباب‌ها می‌شوند.



شکل ۱- ساز و کار حفره‌زایی صوتی [۲۲]

رفتار حباب قبل از ترکیدن (پدیده حفره‌زایی) را می‌توان مطابق معادله ۴ (رابطه ریلی- پلست) مدل‌سازی نمود [۲۳].

$$R\ddot{R} + \frac{3\dot{R}^2}{2} = \frac{1}{\rho} \left[ \left( p_0 + \frac{2\sigma}{R_0} - p_v \right) \left( \frac{R_0}{R} \right)^{3\kappa} + p_v - \frac{2\sigma}{R} - \frac{4\eta\dot{R}}{R} - p_0 - P(t) \right] \quad (4)$$

که در آن،  $R$  و  $\dot{R}$  به ترتیب شعاع لحظه‌ای حباب و مشتق زمانی اول و دوم آن،  $P(t)$  فشار دینامیکی،  $\sigma$  کشش سطحی،  $\rho$  چگالی سیال،  $p_v$  فشار بخار،  $p_0$  فشار هیدرواستاتیکی،  $\kappa$  شاخص پلیتروپیک و  $\eta$  لزجت دینامیکی است. در حفره‌زایی، احتمال وقوع پدیده‌های غیرمنتظره‌ای در کسری از ثانیه وجود دارد و با افزایش دمای داخلی حباب تا  $2000^\circ\text{K}$  و انتشار یک موج ضربه‌ایی تا  $6 \text{ GPa}$  در کسری از زمان (از مرتبه میکروثانیه)، می‌تواند سرعت ساخت و فرآوری مواد را افزایش دهد [۱۱].

هرچه شعاع حباب‌ها کوچکتر باشد، در فشار بالاتری حفره‌زایی رخ می‌دهد؛ به بیان دیگر، وقوع حفره‌زایی برای حباب با شعاع  $R_0$ ، نیازمند آستانه فشار صوتی حفره‌زایی  $P_c$  است که می‌توان آن را از طریق معادله ۵ محاسبه کرد.

$$P_c = P_0 - P_v + \frac{2\sqrt{3}}{9} \left( \frac{2\sigma}{R_0} \right)^{-\frac{3}{2}} \left( p_0 - p_v + \frac{2\sigma}{R_0} \right)^{\frac{1}{2}} \quad (5)$$

که در آن  $P_0$  فشار استاتیکی،  $P_v$  فشار بخار اشباع و  $\sigma$  ضربیت کشش سطحی است. بدین ترتیب در بخش بعدی به شبیه‌سازی یک ریزمحفظه فراصوتی پرداخته خواهد شد.

پلاریزاسیون یا منابع دو قطبی مطابق معادله (۱) است [۱۶] و [۱۷]:

$$\nabla \cdot \left( -\frac{1}{\rho} \nabla P \right) + \frac{\omega^2 P}{\rho c^2} = 0 \quad (1)$$

که در آن،  $\rho$  چگالی آب ( $\text{kg/m}^3$ )،  $c$  سرعت انتشار امواج فراصوت در آب ( $\text{m/s}$ )،  $P = P_A \cos(\omega t)$  فشار آکوستیکی ( $P_A$  بیشینه فشار آکوستیکی،  $\omega$  بسامد تحریک و  $t$  زمان بر حسب ثانیه) است.

فیزیک مورد استفاده، فیزیک آکوستیک فشار در حوزه بسامد<sup>۱</sup> بوده که تغییر فشار ناشی از انتشار امواج در سیال را در حوزه بسامد تحلیل می‌کند. معادله تغییر چگالی و سرعت انتشار موج در سیال تحت شرایط دینامیکی با بسامد  $\omega$  به ترتیب عبارت است از [۱۱]:

$$\rho = \rho_0 \left( 1 + \frac{4 i \omega \mu}{3 \rho_0 c_0^2} \right)^{-1} \quad (2)$$

$$c = c_0 \left( 1 + \frac{4 i \omega \mu}{3 \rho_0 c_0^2} \right)^{1/2} \quad (3)$$

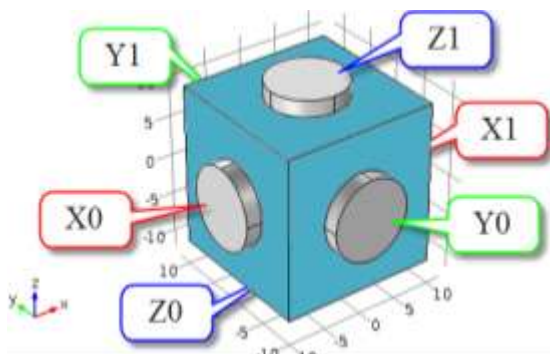
که در آن  $\rho_0$  و  $c_0$  به ترتیب، چگالی و سرعت انتشار صوت در آب تحت شرایط استاتیکی و  $\mu$  لزجت دینامیکی سیال می‌باشند.

اگرچه در طراحی و به کارگیری راکتورها، حفره‌زایی هیدرودینامیکی<sup>۲</sup> پدیده‌ایی نامطلوب به حساب می‌آید [۱۸]؛ ولی حفره‌زایی صوتی ساز و کار اصلی در متلاشی شدن حباب‌ها حین نانومولسیون‌سازی، بهروش موج دهی فراصوتی است [۱۹]. حفره‌زایی صوتی در اصل، نوسان‌های شعاعی حباب‌های گازی میکروسکوپی موجود در سیال است که با عبور امواج صورت می‌گیرد [۲۰]. همان‌طور که در شکل ۱ مشاهده می‌شود، هر سیکل از موج متناوب صوتی منتشر شده در سیال، دارای دو نیم‌سیکل فشاری مثبت و منفی است. نیم سیکل فشار منفی، موجب افزایش حجم حباب‌های سیکل فشار مثبت، موجب کاهش حجم حباب‌های میکروسکوپی می‌شود. اگر اندازه موج صوتی و قدرت خلازایی آن به مقداری باشد که بتواند شعاع حباب را تا آستانه حفره‌زایی صوتی (حدود  $2/3$  برابر شعاع حباب در حالت تعادل) برساند، حباب در نیم سیکل فشار مثبت، به جای

<sup>۱</sup> Pressure Acoustics, Frequency Domain (acpr)

<sup>۲</sup> Hydrodynamic cavitation

پ) پیزوهای پایینی و بالایی در راستای محور Z ها ترتیب، Z0 و Z1 نام‌گذاری شده‌اند.  
سیال مورد استفاده آب است و مشخصه‌های فیزیکی آن را می‌توان در جدول ۱ مشاهده نمود [۱۱].  
برای بررسی تأثیر متغیرهای مختلف بر توزیع چگالی فشار آکوستیکی مطابق جدول ۲، چیدمان‌های مختلفی از پیزوها، مورد تحلیل قرار گرفته‌اند.



شکل ۲- نام‌گذاری سرامیک‌های پیزوالکتریک

جدول ۱- مشخصه‌های فیزیکی استفاده شده در شبیه‌سازی

مشخصه	مقدار
چگالی، $\rho$ ( $kg/m^3$ )	۱۰۰۰
سرعت انتشار امواج، $c$ ( $m/s$ )	۱۵۰۰
لرجت دینامیکی، $\mu$ ( $Pa s$ )	$1.0 \times 10^{-3}$

جدول ۲- چیدمان پیزوهای فعال در شبیه‌سازی‌های حمام فراصوتی

توضیح	شماره چیدمان	تعداد	پیزوهای فعال	Z0	Z1	X0	X1	Y0	Y1
یک بعدی با یک پیزو	۱	۰	۰	۰	۰	۰	۰	۰	●
یک بعدی با دو پیزو	۲	۰	۰	۰	۰	۰	●	●	●
دو بعدی، هر بعد دو پیزو	۴	۰	۰	●	●	●	●	●	●
سه بعدی، هر بعد دو پیزو	۶	●	●	●	●	●	●	●	●

### ۳- شبیه‌سازی

در این پژوهش پس از بیان مشخصه‌های ظاهری حمام فراصوتی مورد مطالعه با استفاده از نرم‌افزار کامسول، به چگونگی استفاده از ماثولهای سرامیک پیزوالکتریک و انتشار امواج پرداخته شده است.

شکل حمام فراصوتی مکعب و هر بعد آن، دو سانتی‌متر در نظر گرفته شده است. حمام فراصوتی شبیه‌سازی شده کامل محصور بوده و سطح آزاد ندارد. شش دیواره آن از نوع سخت<sup>۱</sup> بوده که در آن‌ها، مولفه عمود بر سطح مشتق فشار صفر است. بدین ترتیب، شرط مرزی سیال در دیوارهای را می‌توان با معادله ۶ فرض کرد.

$$\frac{\partial p}{\partial n} = 0 \quad (6)$$

که در آن،  $p$  فشار آکوستیکی و  $n$  مولفه عمود بر سطح می‌باشد. شش پیزو در شش وجه مکعب قرار داده شده که مستقل از هم بوده و موج‌دهی فراصوتی بر اساس چهار چیدمان انجام گرفته است. در صورت عدم نیاز به یک پیزو، آن پیزو از شبیه‌سازی حذف و دیواره تمام آن وجه را می‌پوشاند. ولتاًز تحریک در همه آزمایش‌ها یکسان بوده

صورت زیر است:

۱- در سطح تماس پیزو با سیال، نیروی الکترودینامیکی  $U$  برابر صفر است.

۲- در سطح آزاد پیزو، نیروی الکترودینامیکی  $U_0$  برابر  $U_0$  است.

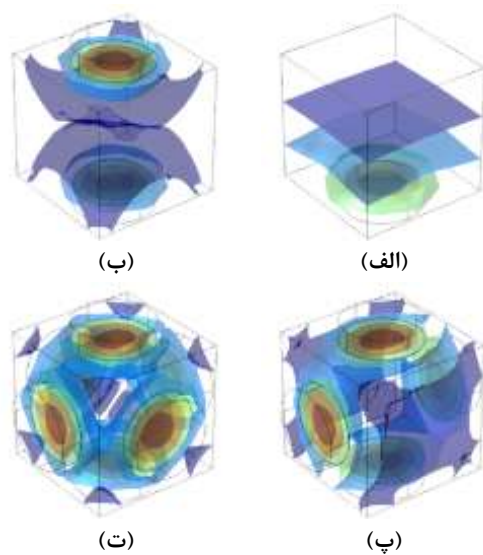
۳- در سطح آزاد پیزو، سرعت ارتعاش  $V$  برابر صفر است (قید سطح ساکن).

برای ساماندهی استفاده ترکیبی از پیزوها در این تحقیق، نام‌گذاری آن‌ها مطابق شکل ۲ انجام شده است. همان‌طور که مشاهده می‌شود:

(الف) پیزوهای چپی و راستی در راستای محور X‌ها به ترتیب X0 و X1 و

(ب) پیزوهای راستی و چپی در راستای محور Y‌ها به ترتیب Y0 و Y1 و

<sup>۱</sup> Sound Hard Boundary (Wall)



شکل ۳- نمایی از توزیع فشار آکوستیکی در چیدمان‌های چهارگانه (الف: چیدمان اول، ب: چیدمان دوم، پ: چیدمان سوم و ت: چیدمان چهارم)

جدول ۳- جنس و ابعاد پیزوها

	ضخامت (mm)	شعاع (mm)	جنس	بسامد (kHz)
۲	۶	PZT-۴	۲۰	
۱	۶	PZT-5h	۲۰۰	
۰/۵	۷	PZT-5j	۳۰۰	

جدول ۴- مناسب‌ترین بسامد در چیدمان‌های چهارگانه

چهارم (Hz)	چیدمان				بسامد اصلی (Hz)
	سوم (Hz)	دوم (Hz)	اول (Hz)		
۳۶,۹۶۱	۳۶,۹۷۳	۳۶,۹۸۸	۳۷,۰۱۵	۲۰,۰۰۰	
۱۸۱,۱۶۸	۲۲۱,۹۰۴	۲۲۱,۸۴۴	۲۲۲,۱۶۰	۲۰۰,۰۰۰	
۳۰۵,۳۲۰	۲۷۷,۰۳۹	۲۹۶,۲۱۵	۳۰۵,۴۰۳	۳۰۰,۰۰۰	

در شبیه‌سازی انتشار امواج در محیط‌های حاوی سیال، اندازه مشبندی از اهمیت بالایی برخوردار است. در مشبندی بزرگ، شبیه‌سازی انتقال امواج به درستی صورت نمی‌گیرد و از طرف دیگر، مشبندی کوچک موجب افزایش حجم

در چیدمان اول از یک پیزو در کف استفاده شده است (شکل ۳-الف). از این چیدمان، به عنوان پایه‌ای برای ارزیابی سایر چیدمان‌ها استفاده شده است. چیدمان دوم، سوم و چهارم از پیزوهای روبروی هم تشکیل شده‌اند که به ترتیب دارای دو (شکل ۳-ب)، چهار (شکل ۳-پ) و شش (شکل ۳-ت) پیزو می‌باشند. در چیدمان‌های شماره یک و دو، موج‌دهی فقط در یک بعد انجام می‌شود. در چیدمان‌های سوم و چهارم نیز، موج‌دهی دو بعدی (راستای محور Zها و Xها) و سه بعدی مورد ارزیابی قرار گرفته‌اند.

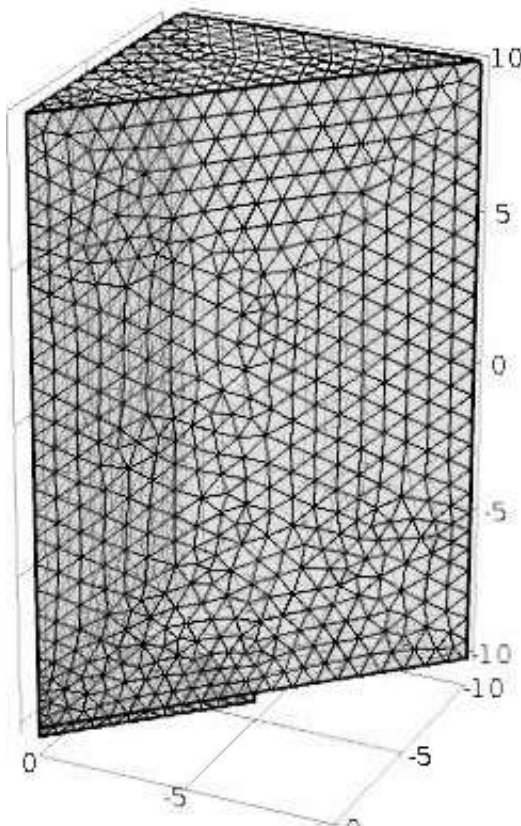
می‌توان با بهره‌گیری از تقارن و کاهش حجم محاسبه‌ها، موجب افزایش سرعت شبیه‌سازی گردید. متقاضن‌ترین حالت، چیدمان شماره چهار (شکل ۳-ت) است. در این چیدمان، می‌توان مطابق شکل ۴، طی پنج مرحله استفاده از تقارن، حجم محاسبه‌ها را حدود پنجاه برابر کمتر نمود؛ همچنین حجم محاسبه‌ها در چیدمان‌های اول تا سوم را نیز می‌توان به

$$\text{ترتیب تا } \frac{۱}{۸}, \frac{۱}{۱۶} \text{ و } \frac{۱}{۳۲} \text{ کاهش داد.}$$

برخی محققان در بررسی‌های خود از موج‌دهی فرacoottی با سامدهای ۲۰ [۹] و ۲۴ [۲۴]، ۲۰۰ [۱۰] و ۲۵ [۲۵] و ۳۰۰ [۲۶] کیلوهرتز برای تهیه نانومولسیون استفاده کرده‌اند. در این مقاله نیز از این دامنه بسامدهای برای بررسی اثر آن‌ها بر توزیع فشار آکوستیکی و چگالی انرژی آکوستیکی در حمام فرacoottی استفاده شده است. جنس و ابعاد پیزوها در هر بسامد با توجه به نمونه‌های موجود شبیه‌سازی یا تجاری انتخاب شده‌اند که جزئیات آن را می‌توان در جدول ۳ مشاهده کرد.

کارآیی یک پیزو در حالت‌های بدون بار و حین باردهی تفاوت دارد. به همین دلیل بایستی در هر چیدمان، مناسب‌ترین بسامد را به دست آورد که در آن، پیزوها با بیشترین کارایی و کمترین هدر رفت، انرژی ورودی را به امواج آکوستیکی تبدیل کنند. بدین ترتیب در هر چیدمان ابتدا در بازه‌ای شامل بسامد اصلی، شبیه‌سازی انجام گرفته تا پس از استخراج نمودار چگالی انرژی آکوستیکی در آن بازه، مناسب‌ترین بسامد برای تحریک آن چیدمان مشخص شود. بسامدهای متناسب با بیشترین چگالی انرژی آکوستیکی در چیدمان‌های مختلف را می‌توان در جدول ۴ مشاهده کرد.

موج‌های منتشر شده، به پیچیدگی و ظرافت امواج صوتی افزوده شده و ساختار امواج به ترتیب به شکل‌های کروی و لایه‌ای-کروی تبدیل می‌شوند. ساختار امواج صوتی در چیدمان‌های اول و دوم بسامد ۲۰ کیلوهرتز (شکل ۶-الف و ب)، تفاوت چندانی با یکدیگر ندارند؛ چرا که علاوه بر بسامد کم و طول موج به نسبت بلند، دیواره‌ها نیز از نوع سخت تعريف شده‌اند و موج‌دهی در هر دو چیدمان در یک بعد انجام شده است. با کوچک شدن اندازه طول موج، تفاوت نقاط کنج و خطوط لبه در بسامدهای ۲۰۰ و ۳۰۰ کیلوهرتز به وضوح مشاهده می‌شود. در مواردی که نقاط کنج دارای بیشینه فشار هستند، مرکز مکعب نیز بیشترین فشار را دارد (شکل ۷-الف، ۷-پ، ۷-ت، شکل ۸-الف، ۸-ب و ۸-پ). در سایر موارد نیز خطوط لبه و چند ناحیه متقاضن در مرکز مکعب دارای بیشینه فشار هستند (شکل ۷-ب و شکل ۸-ت).



شکل ۴- مشبندی مناسب ابعاد کاهش یافته چیدمان اول در بسامد ۳۰۰ کیلوهرتز

محاسبه می‌شود. اندازه مش برای شبیه‌سازی یک موج باقیستی متناسب با طول موج منتشر شده در محیط باشد؛ به نحوی که در کوچکترین طول موج، حداقل ۵ المان (۶ گره) وجود داشته باشد. با توجه به رابطه بین بسامد و طول موج، می‌توان از معادله ۷ برای تعیین حداقل اندازه مش‌بندی قابل قبول استفاده کرد [۲۷].

$$dx_{max} = \frac{V}{f * 5} \quad (7)$$

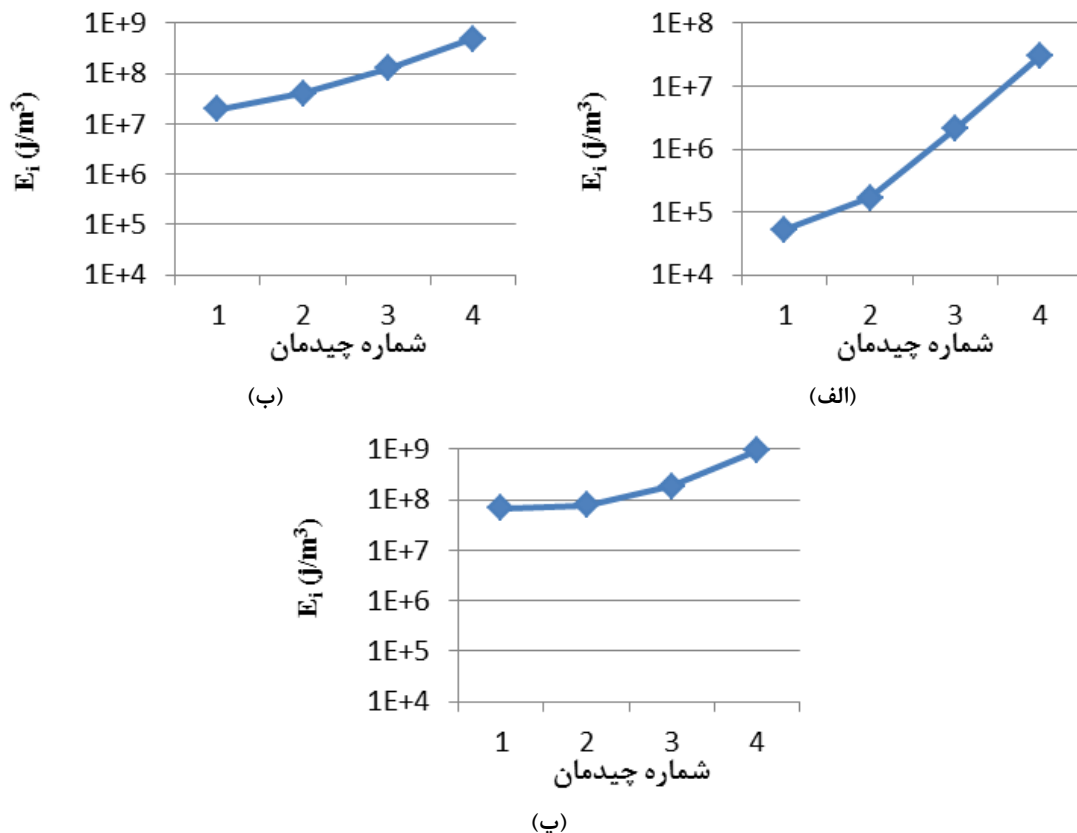
که در آن،  $V = 1500 \text{ m/s}$ ، سرعت انتشار موج در آب و  $f$  بسامد تحریک پیزو است. به طور نمونه، تعداد المان‌ها در بسامد ۳۰۰ کیلو هرتز برای چیدمان‌های اول تا چهارم و با ابعاد کاهش یافته (با استفاده از تقارن) به ترتیب برابر ۱۴۲۷۶، ۱۳۷۷۸، ۲۶۷۴۰ و ۴۹۰۸ عدد است.

#### ۴- فشار آکوستیکی

وجود پیزووهای غیر فعال در شبیه‌سازی باعث اختلال در نتایج می‌شود؛ به نحوی که در بسامدهای خاص، ولتاژ قابل توجهی (حدود پنج برابر ولتاژ تحریک) در پیزووهای غیرفعال مشاهده شده که ناشی از خاصیت جذب انرژی (معکوس حالت انتشار امواج) در حالت تشدید پیزووها است. به همین دلیل در تمامی شبیه‌سازی‌ها، پیزووهای غیرفعال به طور کامل حذف شده‌اند. با توجه به ابعاد کوچک حمام فرacoتی، از تاثیر جاذبه زمین نیز صرف‌نظر شده است.

تحریک ناهمفاز پیزووهای روبروی هم، موجب خنثی شدن اثر آن‌ها با یکدیگر و کاهش چگالی انرژی آکوستیکی تا حد صفر ( $E = 0 / ۰ \text{ J/m}^3$ ) می‌شود. به همین دلیل، مطابق شرایط مرزی شماره ۱ و ۲، تحریک پیزووها به صورت همفاز تعریف شده است.

یکی از خروجی‌های مهم شبیه‌سازی انتشار امواج، شکل‌های توزیع فشار آکوستیکی است. با استفاده از این خروجی‌ها می‌توان به میزان فشار آکوستیکی و یکنواختی آن، و در نتیجه شدت احتمال وقوع حفره‌زایی در حمام فرacoتی پی برد. شکل‌های ۶ تا ۸ توزیع فشار آکوستیکی چیدمان‌های چهارگانه در سه بسامد تحریک را نشان می‌دهند. همان‌طور که در شکل‌ها مشخص است، در بسامد ۲۰ کیلوهرتز امواج صوتی بسیار ساده، جدا از هم و با ساختار لایه‌ای هستند. با افزایش بسامد به ۲۰۰ و ۳۰۰ کیلوهرتز و با کاهش طول



شکل ۵- چگالی انرژی آکوستیکی در چیدمان‌های چهار گانه در بسامدهای: (الف) ۲۰۰، (ب) ۲۰۰ و (پ) ۳۰۰ کیلوهرتز

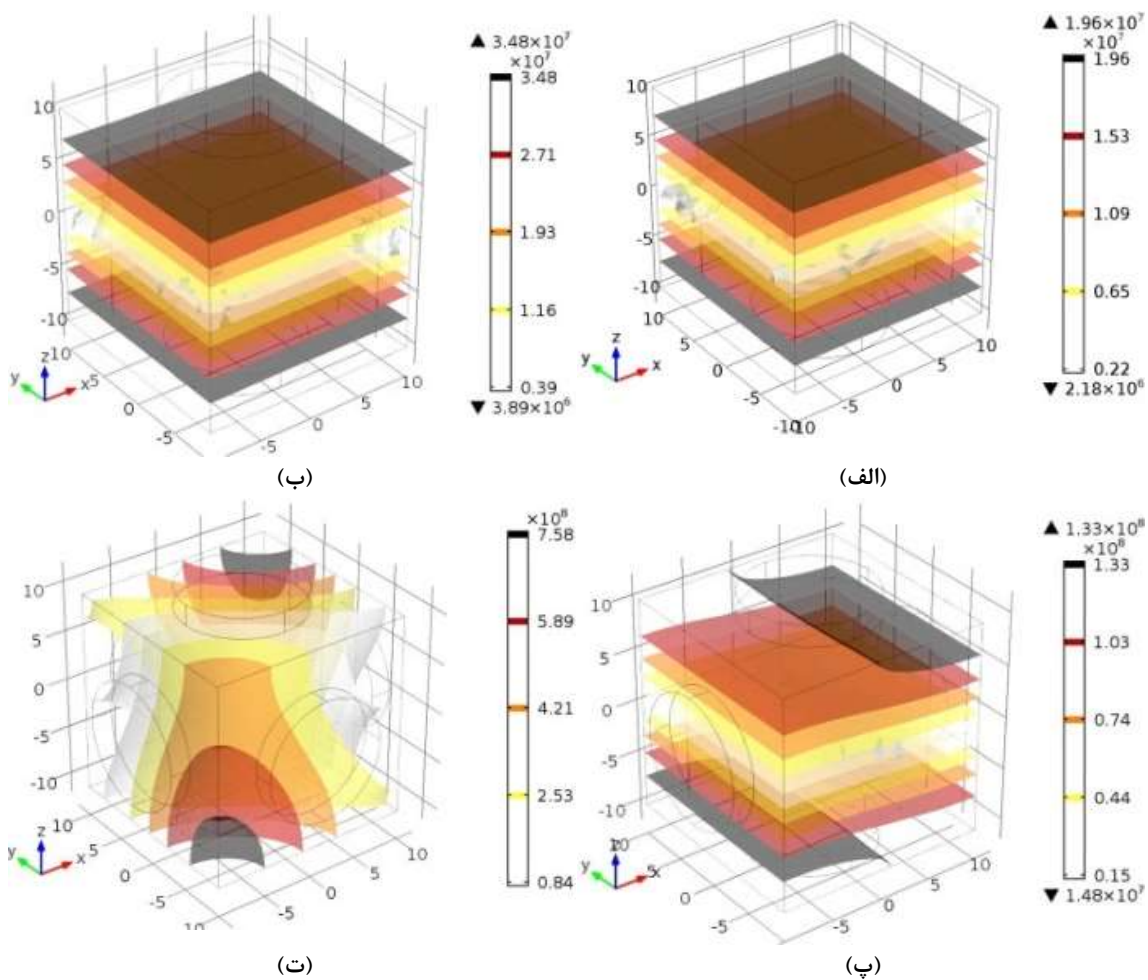
کارایی یک حمام فراصوتی است و با مقایسه چگالی انرژی آکوستیکی می‌توان کارایی دو چیدمان را با یکدیگر مقایسه کرد.

$$\bar{E} = \frac{1}{V_0} \int_{V_0} \frac{1}{2} \left( \frac{p^2}{\rho c^2} \right) dV \quad (8)$$

که در آن  $V_0$  حجم سیال است. در جدول ۵ چگالی انرژی آکوستیکی چیدمان‌های چهار گانه  $E_i$  ( $i$ : شماره چیدمان)، در بسامدهای ۲۰۰، ۲۰۰ و ۳۰۰ کیلوهرتز آورده شده است. همانطور که در شکل ۹ نیز مشاهده می‌شود، با افزایش تعداد پیزوها، رشد چگالی انرژی آکوستیکی به صورت نمایی افزایش یافته است و نیز با کاهش بسامد، میزان رشد چگالی انرژی آکوستیکی طی چیدمان‌های چهار گانه افزایش یافته است.

##### ۵- چگالی انرژی آکوستیکی

برای مقایسه متغیرهای شبیه‌سازی و تعیین مناسب‌ترین حالت، می‌توان از میانگین حجمی چگالی انرژی آکوستیکی، که فرمول آن در معادله ۸ آمده [۱۱] استفاده نمود. واحد چگالی انرژی آکوستیکی، پاسکال یا همان ژول بر متر مکعب است و میزان انرژی آکوستیکی محیط بر واحد حجم را بیان می‌کند. به دلیل وجود نیم سیکل‌های فشاری و کششی در حمام فراصوتی، برای بررسی توزیع فشار آکوستیکی بایستی از قدر مطلق یا توان دوم آن استفاده کرد. چگالی انرژی آکوستیکی، تابعی از توان دوم فشار آکوستیکی است و می‌تواند معیار مناسبی برای مقایسه فشار آکوستیکی حمام‌های فراصوتی باشد. رسیدن اندازه فشار به آستانه فشار حفره‌زایی  $P_c$ ، نیز یکی از معیارهای ارزیابی



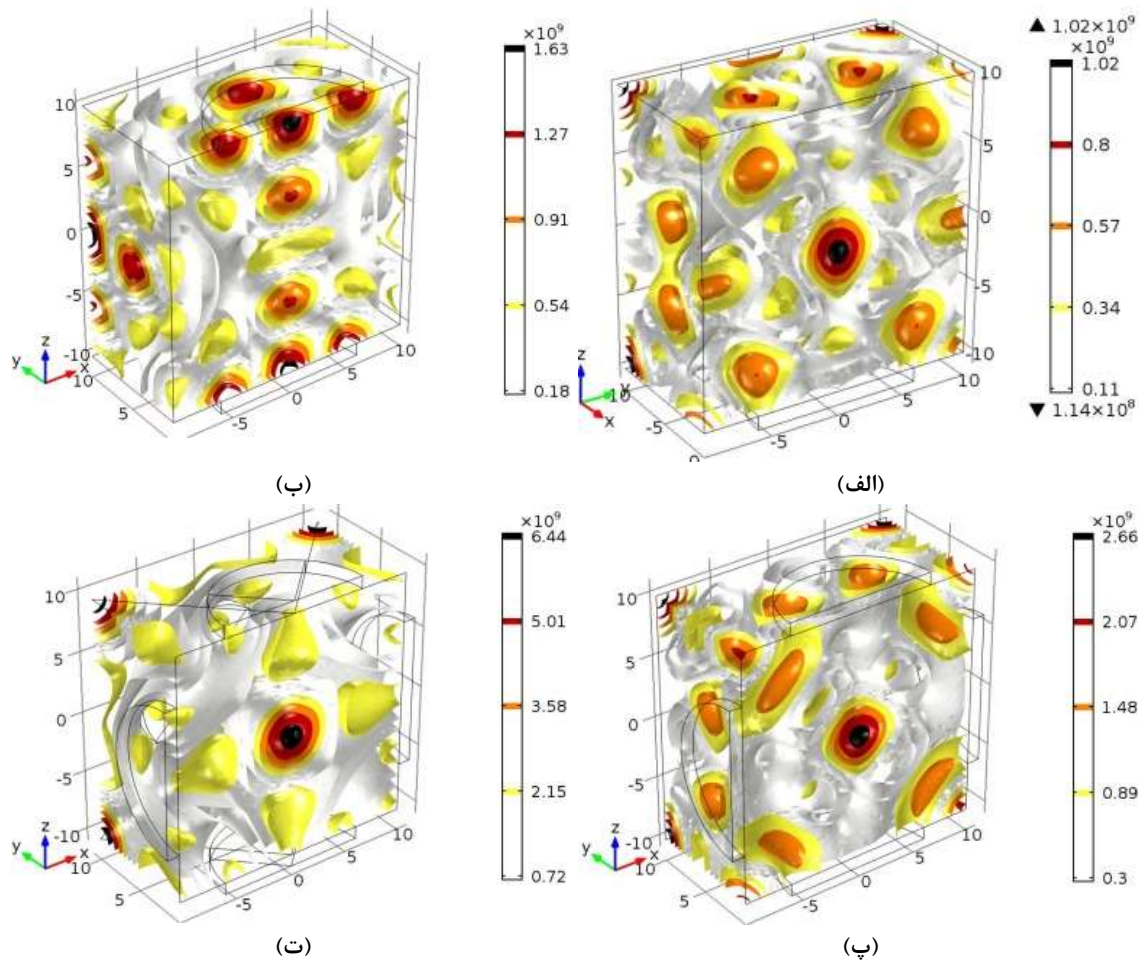
شکل ۶- توزیع فشار آکوستیکی در بسامد ۲۰ کیلوهرتز (الف) چیدمان اول، (ب) چیدمان دوم، (پ) چیدمان سوم و (ت) چیدمان چهارم

به بیان دیگر، با توجه به اهمیت طول موج در سه بسامد مورد ارزیابی، مشاهده می شود که هرچه بسامد تحریک کمتر باشد (۲۰ کیلوهرتز نسبت به ۲۰۰ کیلوهرتز و ۲۰۰۰ کیلوهرتز نسبت به ۳۰۰۰ کیلوهرتز)، با افزودن پیزوالکتریکی افزایش چگالی انرژی آکوستیکی رخ داده است.

برای مقایسه میزان تاثیر افزوده شدن پیزوها بر افزایش چگالی انرژی آکوستیکی، بایستی مقادیر یکه چگالی انرژی آکوستیکی را با یکدیگر مقایسه کرد. بدین منظور، مطابق

جدول ۵- چگالی انرژی آکوستیکی در چیدمان های چهار گانه

بسامد تحریک (kHz)	$E_r$ (j/m³)	$E_r$ (j/m³)	$E_r$ (j/m³)	$E_r$ (j/m³)
۲۰	۵۳,۲۶۴	۱۶۸,۶۷۷	۲,۰۷۸,۲۱۰	۳۰,۰۹۸,۶۹۵
۲۰۰	۱۹,۸۱۷,۵۴۰	۴۱,۰۶۵,۵۶۹	۱۲۷,۸۴۲,۰۵۹	۴۸۳,۳۶۶,۷۲۱
۳۰۰	۶۷,۶۶۶,۷۳۱	۱۸۶,۷۱۹,۴۷۱	۷۸,۲۱۰,۰۳۹	۹۳۴,۵۹۰,۴۰۳



شکل ۷- توزیع فشار آکوستیکی در بسامد ۲۰۰ کیلوهرتز (الف) چیدمان اول، (ب) چیدمان دوم، (پ) چیدمان سوم و (ت) چیدمان چهارم

مقادیر یکه شده چگالی انرژی آکوستیکی چیدمان‌های دوم تا چهارم بر مقدار چیدمان اول ( $E_1^n = E_1$ )، می‌توان به بررسی تاثیر افزودن پیزوها پرداخت.

$$E_i^n = \frac{E_i}{N_i} \quad (9)$$

همانطور که در جدول ۶ مشاهده می‌شود، بیشترین تاثیر به ترتیب در موارد چیدمان چهارم به اول در بسامد ۲۰ کیلوهرتز (حدود ۹۴ برابر)، چیدمان سوم به اول در بسامد ۲۰ کیلوهرتز (حدود ۱۰ برابر) و چیدمان چهارم به اول در بسامد ۲۰۰ کیلوهرتز (حدود ۴ برابر) است. کمترین تاثیر نیز به ترتیب در موارد چیدمان دوم به اول در بسامد ۳۰۰ کیلوهرتز (حدود ۰/۶ برابر)، چیدمان سوم به اول در بسامد ۳۰۰ کیلوهرتز (حدود ۰/۷ برابر) و چیدمان دوم به اول در

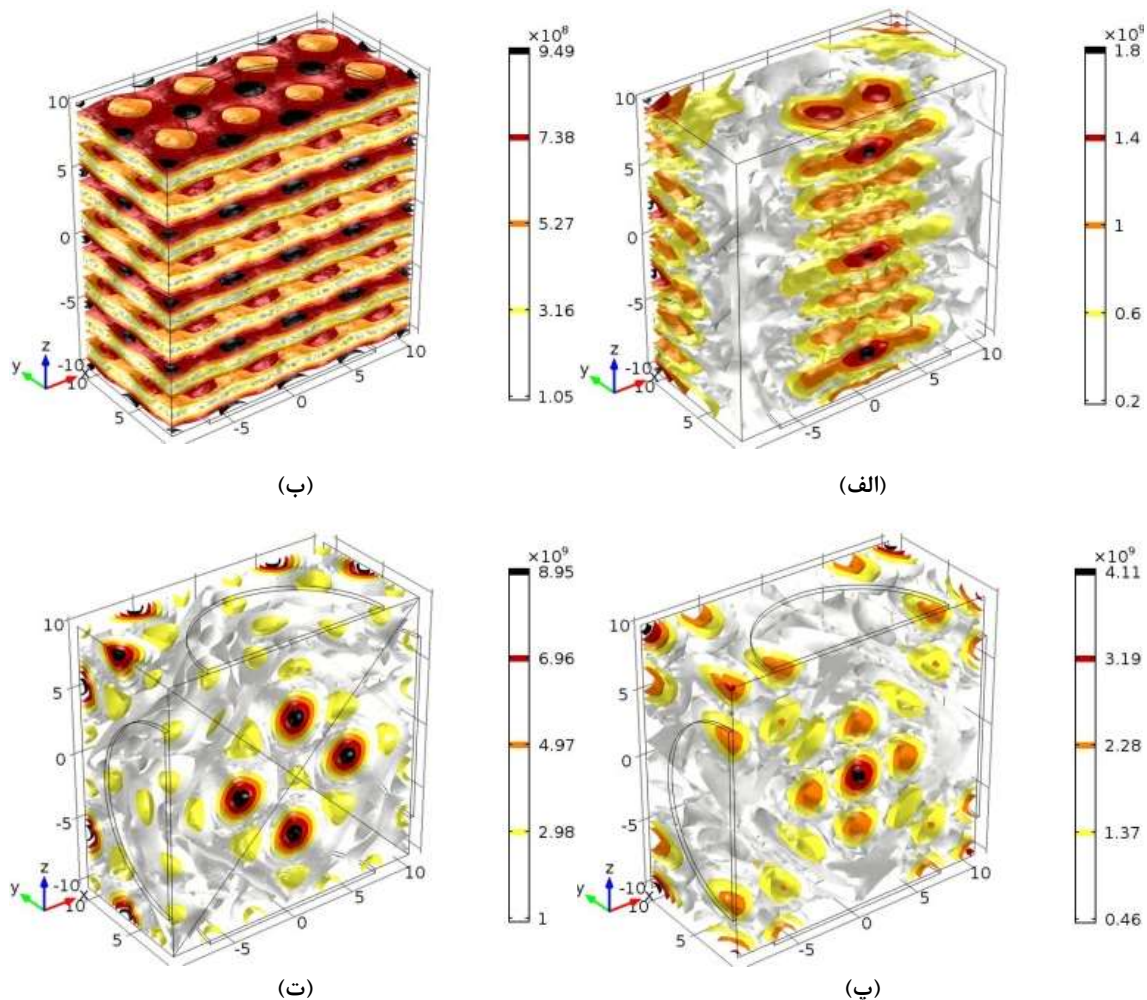
جدول ۶- نسبت مقادیر یکه چگالی انرژی آکوستیکی

چیدمان‌ها				
$\frac{E_4^n}{E_1^n}$	$\frac{E_3^n}{E_1^n}$	$\frac{E_2^n}{E_1^n}$	$\frac{E_1^n}{E_1}$	بسامد تحریک (kHz)
۹۴/۱۸	۹/۷۵	۱/۵۸	۱	۲۰
۴/۰۷	۱/۶۱	۱/۰۴	۱	۲۰۰
۲/۳۰	۰/۶۹	۰/۵۸	۱	۳۰۰

معادله ۹ اعداد جدول ۵ را بر تعداد پیزوها ( $N_i$ ) تقسیم کرده تا مقادیر  $E_i^n$  به دست آید. حال مطابق جدول ۶، با تقسیم

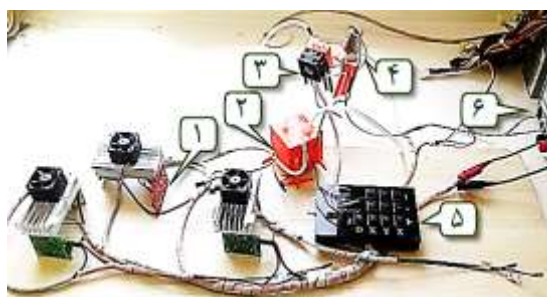
ارسال امواج به صورت سه بعدی عمود بر هم باشد. نرخ افزایش چگالی انرژی آکوستیکی با افزایش بسامد کاهش می‌یابد، به نحوی که افزودن یک پیزو و سه پیزو در بسامد ۳۰۰ کیلوهرتز با اینکه به ترتیب موجب  $1/61$  و  $2/76$  برابر شدن چگالی انرژی آکوستیکی می‌شوند، ولی از نظر مصرف انرژی به صرفه نمی‌باشند. در این بسامد، تنها چیدمان چهارم (افزودن پنج پیزو) از نظر مصرف انرژی به صرفه بوده و انرژی آکوستیکی آن،  $2/3$  برابر شش حمام فرا صوتی با چیدمان اول است. در سامدهای بالا به دلیل کوچکتر بودن طول موج، اضافه شدن پیزو، می‌تواند موجب خنثی شدن اثر پیزوهای سابق و کاهش رشد چگالی انرژی آکوستیکی گردد.

بسامد ۲۰۰ کیلوهرتز (به طور تقریبی یکسان) است. با نمایش نموداری این اعداد (شکل ۱۰) می‌توان دریافت که بیشترین رشد مقادیر یکه چگالی انرژی آکوستیکی چیدمان‌ها در بسامد ۲۰ کیلوهرتز و کمترین رشد در بسامد ۳۰۰ کیلوهرتز رخ داده است. به عنوان مثال، شش برابر کردن تعداد پیزوهای و قرار دادن آن‌ها به صورت عمود بر هم، در بسامد ۲۰ کیلوهرتز (چیدمان چهارم نسبت به چیدمان اول) علاوه بر افزایش بسیار زیاد چگالی انرژی آکوستیکی (بیش از ۵۶۰ برابر)، از نظر میزان مصرف انرژی نیز به صرفه است و انرژی آکوستیکی آن، بیش از ۹۴ برابر شش حمام فرا صوتی با چیدمان اول است. این امر می‌تواند به دلیل تشدید ناشی از

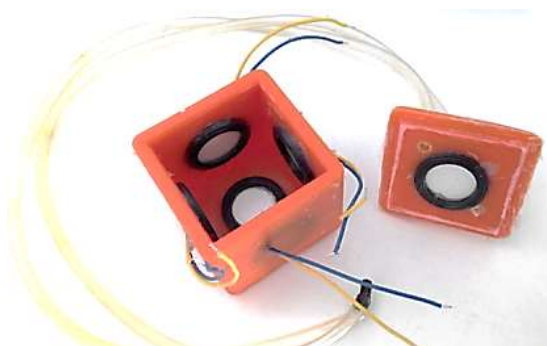


شکل ۸- توزیع فشار آکوستیکی در بسامد ۳۰۰ کیلوهرتز (الف) چیدمان اول، (ب) چیدمان دوم، (پ) چیدمان سوم و (ت) چیدمان چهارم

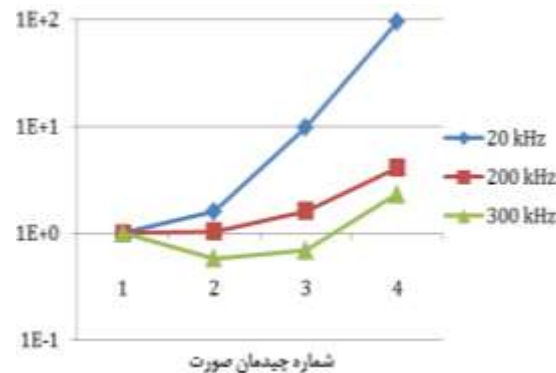
۳. موج دهی فرacoتوی در حمام‌های فرacoتوی با چیدمان‌های چهارگانه، در سه مرحله به مدت ۳۰، ۶۰ و ۹۰ دقیقه.
  ۴. نمونه برداری از نانوامولسیون تهیه شده بعد از هر مرحله.
  ۵. سانتریفیوژ کردن هریک از نمونه‌ها با سرعت ۴۰۰۰ دور بر دقیقه و به مدت ۳۰ دقیقه.
  ۶. اندازه‌گیری میزان شفافیت نمونه‌های سانتریفیوژ شده با استفاده از کدورت سنج.
- در این پژوهش، ارزیابی تجربی تاثیر چیدمان سرامیک‌های پیزو الکترونیک در یک حمام فرacoتوی با اندازه‌گیری کدورت نانوامولسیون‌های تهیه شده با هر چیدمان انجام شده است. میزان شفافیت یک نانوامولسیون، معیاری از تشکیل نانوامولسیون پایدار بوده و بیشتر بودن آن نشان‌دهنده پایداری بیشتر نانوامولسیون و عملکرد بهتر حمام فرacoتوی است. نتایج حاصل از آزمایش‌های تجربی در جدول ۷ و شکل ۱۳ آورده شده است.



شکل ۱۰- تجهیزات آزمایش تجربی



شکل ۱۱- حمام فرacoتوی مکعبی با قابلیت نصب شش سرامیک پیزوالکترونیک



شکل ۹- نسبت مقادیر یکه چگالی انرژی آکوستیکی چیدمان‌ها به چگالی انرژی آکوستیکی چیدمان اول

با توجه به مطالب بیان شده مشخص گردید، افزودن تعداد پیزو، موجب بهبود کارایی حمام فرacoتوی می‌شود. در بخش بعد به صحبت‌سنگی تجربی این امر پرداخته می‌شود.

## ۶- نتایج تجربی

جهت راستی آزمایش نتایج شبیه‌سازی، یک مجموعه حمام فرacoتوی طراحی و ساخته شده است. همانطور که در شکل ۱۰ نشان داده شده است، این مجموعه شامل موارد زیر است:

۱. شش عدد درایور جهت کنترل ارتعاشات سرامیک‌های پیزوالکترونیک.
۲. حمام فرacoتوی با قابلیت نصب شش پیزو در شش وجه (شکل ۱۱).
۳. خنک کننده سیال
۴. پمپ جریان سیال
۵. صفحه کنترل
۶. منابع تغذیه

چهار آزمایش تجربی برای چهار چیدمان انجام شده که نحوه انجام هر آزمایش بدین شرح است:

۱. تهیه ۳۰۰ میلی‌لیتر آب و روغن زیتون تصفیه شده با غلظت ۰.۵٪ (حاوی ۲۸۵ میلی‌لیتر آب و ۱۵ میلی‌لیتر روغن) و بدون هیچ‌گونه سورفاکتنت.
۲. تهیه امولسیون اولیه با استفاده از همزن با سرعت ۱۳۰۰ دور بر دقیقه به مدت ۱۰ دقیقه.

زمانی ۳۰ دقیقه‌ای، میزان انرژی آکوستیکی بیشتری به نانومولسیون اعمال شده و پایداری آن در مقادیر بزرگتری افزایش می‌یابد.

### ۷-نتیجه‌گیری

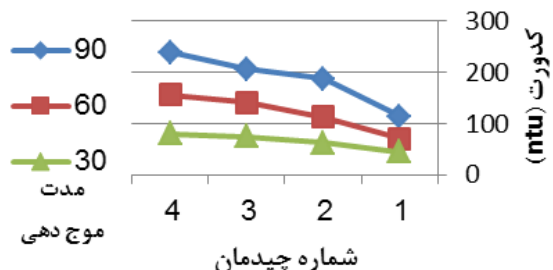
در این مقاله به بررسی تاثیر چهار چیدمان از سرامیک‌های پیزوالکتریک بر چگالی انرژی آکوستیکی در یک ریز محفظه فرacoصوتی مکعبی پرداخته شده است. شبیه‌سازی‌ها به کمک نرم‌افزار المان محدود کامسول و در سه بسامد ۲۰۰، ۲۰ و ۳۰۰ کیلوهرتز انجام شده است. چیدمان اول شامل، یک پیزو در کف بوده و چیدمان‌های دوم تا چهارم به ترتیب دارای دو، چهار و شش پیزو هستند که موج‌دهی‌های یک بعدی تا سه بعدی را انجام می‌دهند. پس از استخراج چگالی انرژی آکوستیکی چیدمان‌ها و یکه کردن آن‌ها، به بررسی تاثیر افزودن پیزوها پرداخته شده است. به این ترتیب، نشان داده شد که در بسامد ۳۰۰ کیلوهرتز، با اینکه برخی از چیدمان‌ها چگالی انرژی آکوستیکی بیشتری دارند، ولی از نظر مصرف انرژی به صرفه نمی‌باشند. به عنوان مثال، در این بسامد، چیدمان چهارم مناسب‌ترین چیدمان بوده، زیرا انرژی آکوستیکی آن، ۲/۳ برابر شش حمام فرacoصوتی با چیدمان اول است. اگرچه این رفتار در بسامدهای مختلف یکسان است، ولی شدت رشد چگالی انرژی آکوستیکی متفاوت است. نتایج نشان داد که به طور کلی، شدت انرژی آکوستیکی که معیاری از شدت کویاتسیویت صوتی است، با بسامد تحریک نسبت عکس دارد.

### ۷-علایم

سرعت انتشار موج در سیال، $m/s$	$c$
اندازه مشبنندی، $m$	$dx$
مولفه عمود بر سطح	$n$
فشار آکوستیکی، $kg/ms^2$	$P$
زمان، $s$	$t$
ولتاژ تحریک (نیروی الکترودینامیکی)، $V$	$U$

جدول ۷- کدورت نانومولسیون‌های تهیه شده (ntu)

مدت موج‌دهی (دقیقه)	چیدمان		
	چهارم	سوم	دوم
۳۰	۷۹	۷۴	۶۲
۶۰	۱۵۷	۱۴۱	۱۱۳
۹۰	۲۳۹	۲۰۶	۱۸۷
۴۴			۴۴
۷۰			۷۰
۱۱۴			۱۱۴



شکل ۱۲- کدورت نانومولسیون‌های تهیه شده در حمام‌های فرacoصوتی با چیدمان‌های مختلف و طی موج‌دهی با مدت‌های متفاوت (ntu)

همانطور که مشاهده می‌شود:

۱. میزان کدورت نانومولسیون با افزایش تعداد پیزوها، افزایش یافته است و این نشان‌دهنده افزایش کارایی حمام فرacoصوتی تحت تاثیر افزایش شدت موج‌دهی است. به عبارت دیگر، هدف پژوهش تایید شده است که افزایش پایداری نانومولسیون با بهره‌گیری از موج‌دهی فرacoصوتی است.
۲. بیشتر شدن مدت زمان موج‌دهی نیز، تاثیر مثبتی بر افزایش کدورت نانومولسیون داشته است. این امر نشان می‌دهد که با موج‌دهی بیشتر، پایداری نانومولسیون بیشتر می‌شود. مشابه بند قبل، هدف پژوهش در این بند نیز تایید می‌شود.
۳. تاثیر افزودن پیزو در موج‌دهی با مدت ۹۰ دقیقه بیشتر از موج‌دهی با مدت ۳۰ دقیقه است. این امر می‌تواند ناشی از اثرگذاری تجمعی انرژی آکوستیکی اعمال شده روی نانومولسیون باشد. به عبارت دیگر، با افزایش تعداد پیزو، در بازه‌های

- [10] Hirai Y, Koshino M, Matsumura Y, Atobe M (2015) Synthesis of spherical polymer nanoparticles reflecting size of monomer droplets formed by tandem acoustic emulsification. *Chem Lett* 44(11): 1584-1585.
- [11] Zhai, W., Liu, H. M., Hong, Z. Y., Xie, W. J., & Wei, B. (2017). A numerical simulation of acoustic field within liquids subject to three orthogonal ultrasounds. *Ultrasonics Sonochemistry*, 34, 130–135.
- [12] Dähnke SW, Keil FJ (1999) Modeling of linear pressure fields in sonochemical reactors considering an inhomogeneous density distribution of cavitation bubbles. *Chem Eng Sci* 54(13-14): 2865-2872.
- [13] Yasui K, Kozuka T, Tuziuti T, Towata A, Iida Y, King J, Macey P (2007) FEM calculation of an acoustic field in a sonochemical reactor. *Ultrason Sonochem* 14(5): 605-614.
- [14] Sáez V, Frías-Ferrer A, Iniesta J, González-García J, Aldaz A, Riera E (2005) Chacterization of a 20 kHz sonoreactor. Part I: Analysis of mechanical effects by classical and numerical methods. *Ultrason Sonochem* 12: 59065.
- [15] Shchukin DG, Gorin DA, Möhwald H (2006) Ultrasonically induced opening of polyelectrolyte microcontainers. *Langmuir* 22(17): 7400-7404.
- [16] Moheimani SOR, Fleming AJ (2006) Piezoelectric Transducers for vibration control and damping. Oxford University Press, Oxford, UK.
- [17] COMSOL, COMSOL Multiphysics Modeling Guide.
- [18] Mason TJ (1997) Ultrasound in synthetic organic chemistry. *Chem Soc Rev* 26(6): 443.
- [19] Kwan JJ, Graham S, Myers R, Carlisle R, Stride E, Coussios CC (2015) Ultrasound-induced inertial cavitation from gas-stabilizing nanoparticles. *Phys Rev E* 92(2): 23019.
- [20] Harvey G, Gachagan A, Mutasa T (2014) Review of high-power ultrasound-industrial applications and measurement methods. *IEEE T Ultrason Ferr* 61(3): 481-495.
- [21] Apfel RE (1981) Acoustic cavitation prediction. *J Acoust Soc Am* 69(6): 1624.
- [22] Canselier JP, Delmas H, Wilhelm AM, Abismail B (2002) Ultrasound emulsification—An overview. *J DISPER SCI TECHNOL* 23(April 2015): 333-349.
- [23] Harkin A, Nadim A, Kaper TJ (1999) On acoustic cavitation of slightly subcritical bubbles. *Phys Fluids* 11(2): 274-287.
- [24] Nakabayashi K, Amemiya F, Fuchigami T, Machida K, Takeda S, Tamamitsu K, Atobe M (2011) Highly clear and transparent nanoemulsion preparation under surfactant-free conditions using

$m^3$	حجم سیال	$V$
$kg/m^3 s^{-1}$	لزجت دینامیکی یا برشی،	$\mu$
$kg/m^3$	چگالی،	$\rho$
$1/s$	بسامد تحریک،	$\omega$
$N/m^1$	ضریب کشش سطحی،	$\sigma$
	شاخص پلی تروپیک	$\kappa$

## - مراجع

- [1] Bera A, Mandal A (2015) Microemulsions: A novel approach to enhanced oil recovery: a review. *Journal of Petroleum Exploration and Production Technology* 5(3): 255-268.
- [۲] طاهری م، فورگی نژاد ا، شیوا م، امام س، حدادی ا (۲۰۱۶) ارزیابی تغییرات فرمول بنده لاستیک با اندازه گیری سرعت امواج فراصوتی. *مکانیک سازه‌ها و شاره‌ها* ۲۵۸-۲۹۴
- [۳] افتخاری شهری س ا، احمدی بروغنی س ا، خلیلی خ (۲۰۱۵) طراحی سیستم هیدروفرمینگ لوله همراه با ارتعاشات آلتراسونیک قالب. *مکانیک سازه‌ها و شاره‌ها* ۱۳۵-۱۴۸
- [4] Choi J, Kim T, Kim H, Kim W (2016) Ultrasonics Sonochemistry Ultrasonic washing of textiles. *Ultrason Sonochem* 29: 563-567.
- [5] Anton N, Vandamme TF, Cedex FI (2009) The universality of low-energy nano-emulsification. *Int J Pharmaceut* 377(1-2): 142-147.
- [6] Chang WT, Chen YC, Lin RC, Cheng CC, Kao KS, Huang YC (2011) Wind-power generators based on ZnO piezoelectric thin films on stainless steel substrates. *Curr Appl Phys* 11(1): S333-S338.
- [7] Cravotto G, Cintas P (2006) Power ultrasound in organic synthesis: moving cavitational chemistry from academia to innovative and large-scale applications. *Chem Soc Rev* 35(2): 180-196.
- [8] Kaci M, Meziani S, Arab-Tehrany E, Gillet G, Desjardins-lavisse I, Desobry S (2014) Emulsification by high frequency ultrasound using piezoelectric transducer: Formation and stability of emulsifier free emulsion. *Ultrason Sonochem* 21(3): 1010-1017.
- [9] Kobayashi D, Hiwatashi R, Asakura Y, Matsumoto H, Shimada Y, Otake K, Shono A (2015) Effects of operational conditions on preparation of oil in water emulsion using ultrasound. *Physics Proc* 70: 1043-1047.

- colloidal crystal films of various colors. *Ultrason Sonochem* 21(6): 1921-1927.
- [26] Bhangu SK, Gupta S, Ashokkumar M (2017) Ultrasonic enhancement of lipase-catalysed transesterification for biodiesel synthesis. *Ultrason Sonochem* 34: 305-309.
- [27] COMSOL, Acoustics Module Application Library, Piezoelectric Tonpilz Transducer.
- tandem acoustic emulsification. *Chem Commun* 47(20): 5765.
- [25] Hirai Y, Nakabayashi K, Kojima M, Atobe M (2014) Size-controlled spherical polymer nanoparticles: Synthesis with tandem acoustic emulsification followed by soap-free emulsion polymerization and one-step fabrication of